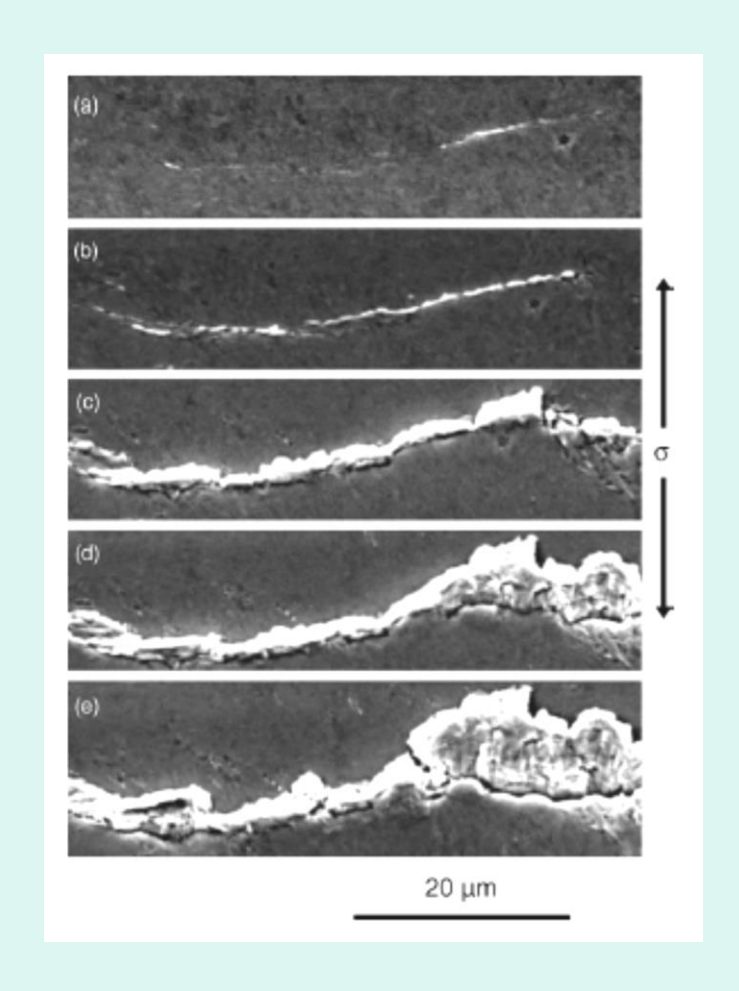


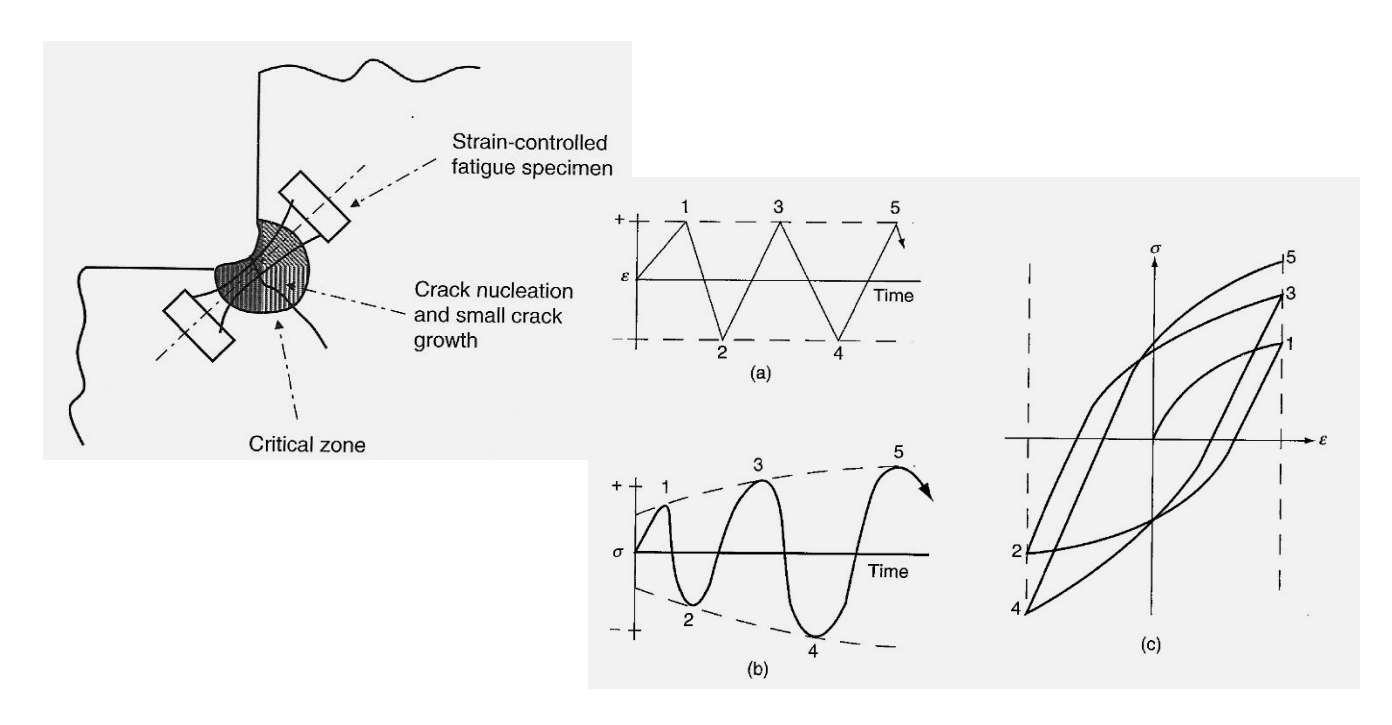
PARTE 3: O MÉTODO E-N



INTRODUÇÃO

Conceito do método deformação-vida

- Furos, entalhes e outros concentradores podem gerar deformação plástica cíclica.
- Considera-se que a vida para a nucleação da trinca de um componente contendo concentrador de tensão pode ser aproximada por um corpo-de-prova liso submetido à mesma deformação cíclica verificada no ponto crítico deste componente.



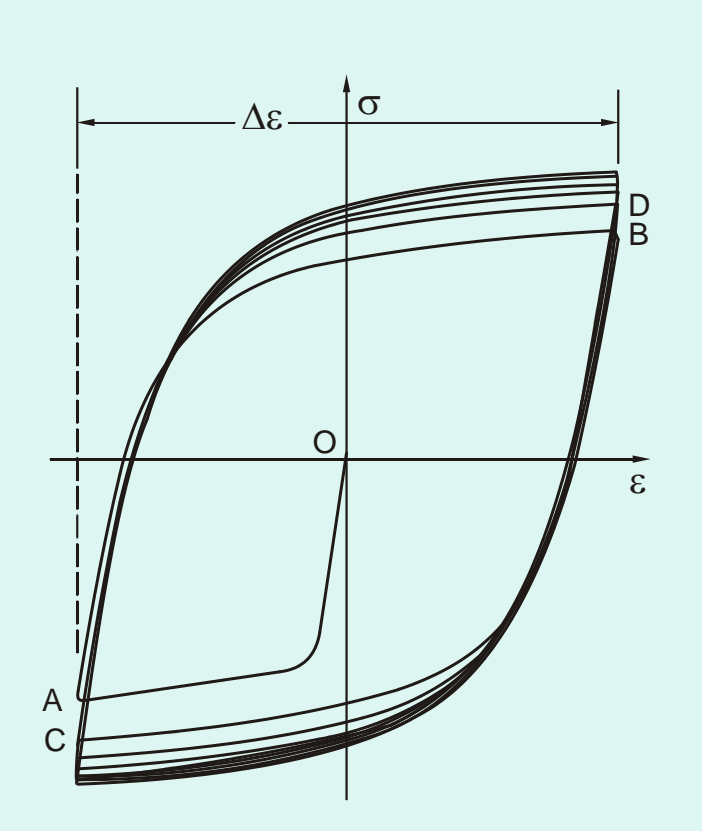


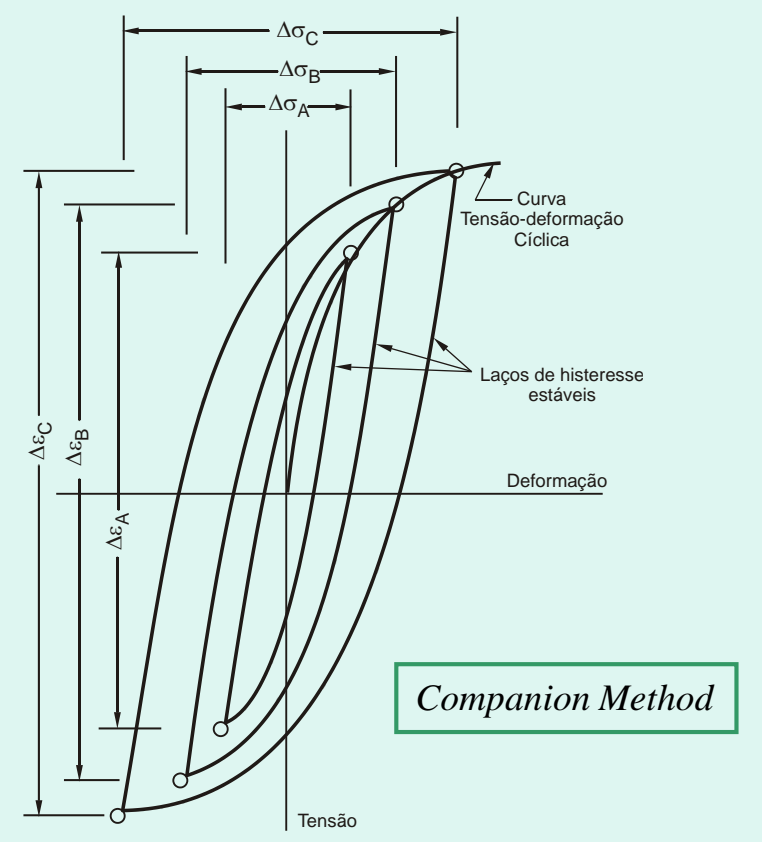


A CURVA TENSÃO-DEFORMAÇÃO CÍCLICA

Comportamento tensão-deformação cíclico

- Nos ensaios com amplitude de deformação constante, os laços de histerese tornam-se estáveis após um amolecimento / endurecimento inicial.
- A CTDC é obtida a partir dos bicos dos laços de histerese estáveis.







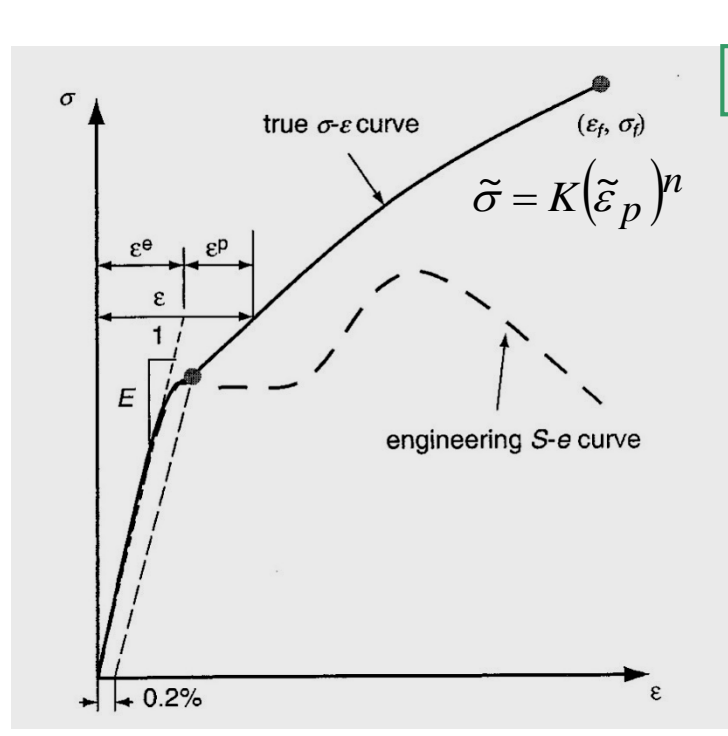


A CURVA TENSÃO-DEFORMAÇÃO CÍCLICA

Propriedades mecânicas monotônicas e cíclicas

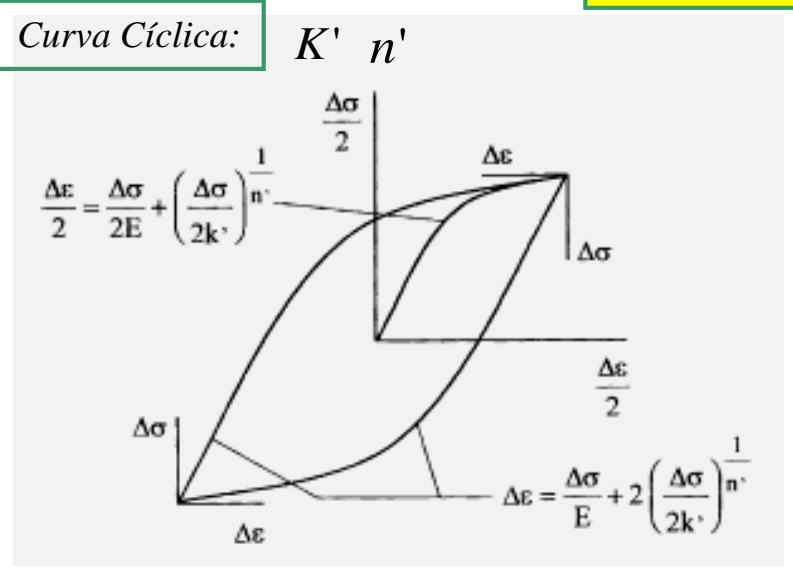
- Material "tipo Masing": o laço de histerese é o dobro da CTDC.

$$\sigma_e$$
 σ_t ΔL RA E K n $\tilde{\sigma}_R$ $\tilde{\varepsilon}_R$ $\tilde{\sigma} = \sigma(1+\varepsilon)$ $\tilde{\varepsilon} = \ln(1+\varepsilon)$



Ramberg-Osgood (curva verdadeira):

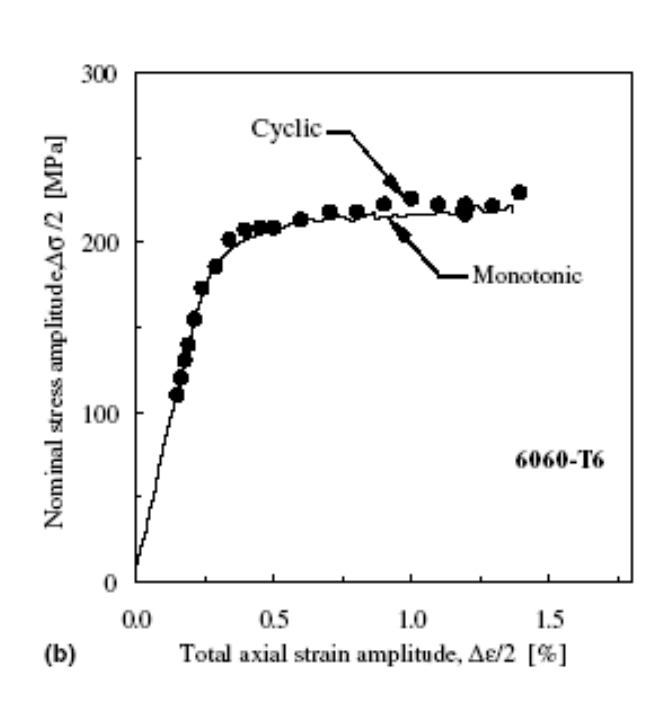
$$\varepsilon = \varepsilon_e + \varepsilon_p = \frac{\sigma}{E} + \left(\frac{\sigma}{K}\right)^{1/n}$$

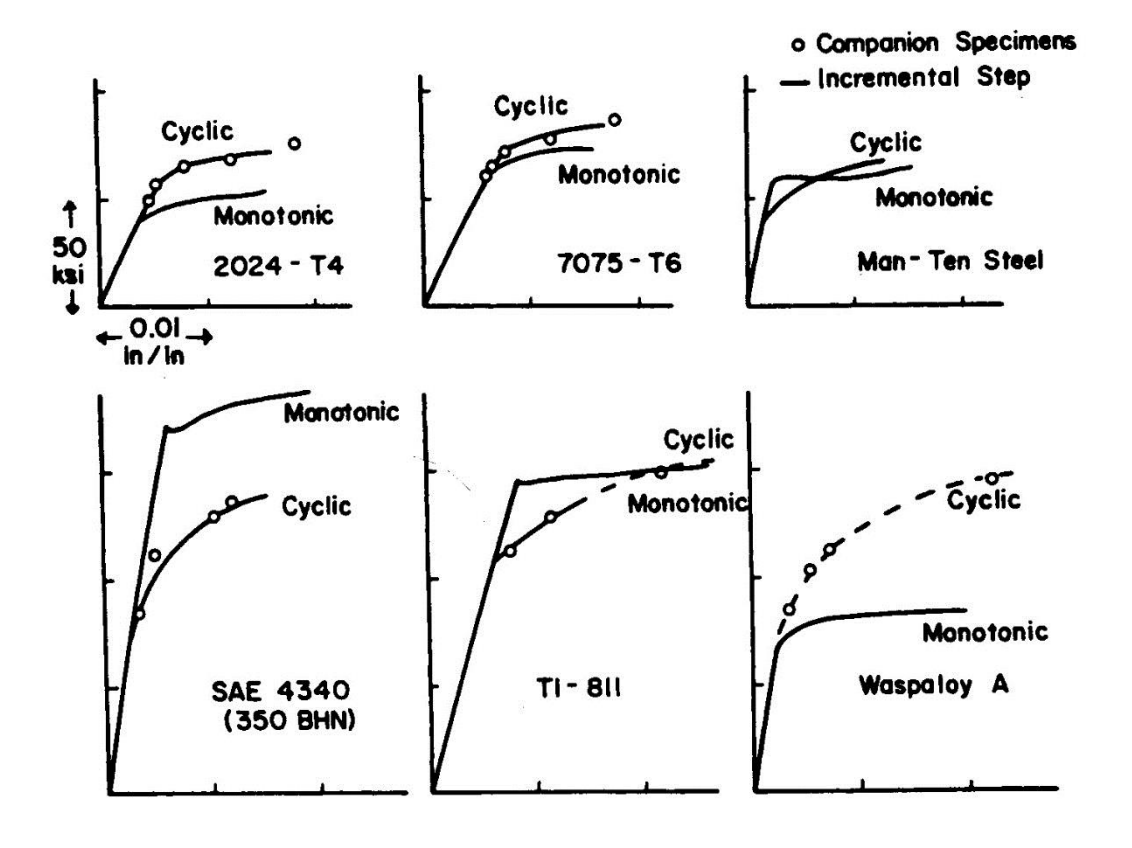


м

A CURVA TENSÃO-DEFORMAÇÃO CÍCLICA

A CTDC comparada à curva tensão-deformação verdadeira



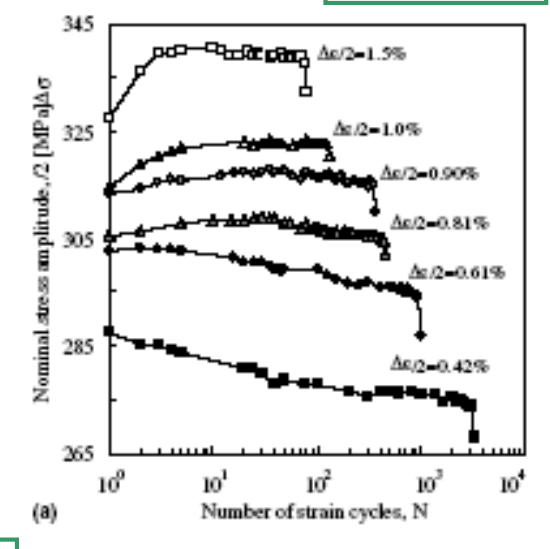


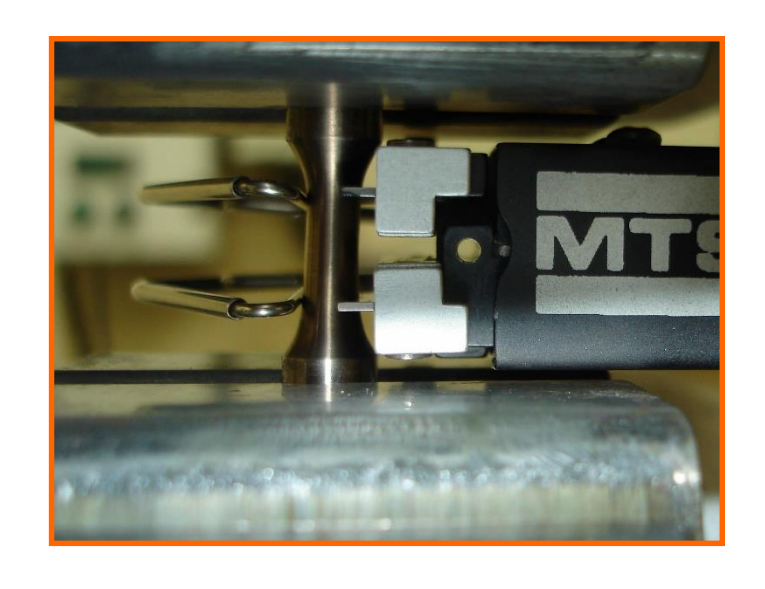
O ENSAIO DE FADIGA DE BAIXO CICLO

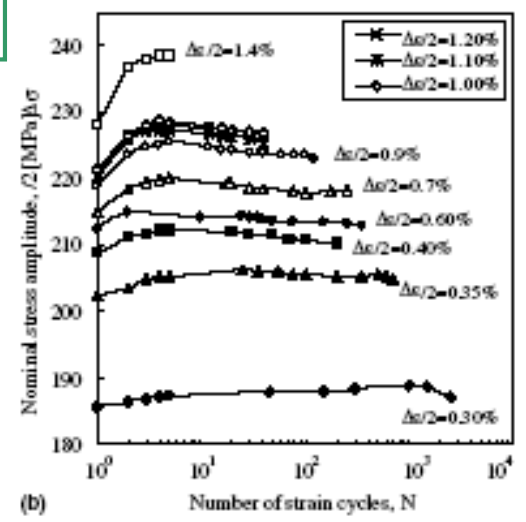
AA 6082 T6

Considerações e Recomendações Práticas

- Controle de deformação
- Forma de onda: triangular
- Manter a mesma taxa de deformação em todos os ensaios
- Coletar os laços de histerese com pelo menos 200 pontos
- Usar tensões e deformações verdadeiras
- Critério de parada: queda de 30-50% na tensão de pico
- Avaliar o laço de histerese correspondente a 50% da vida







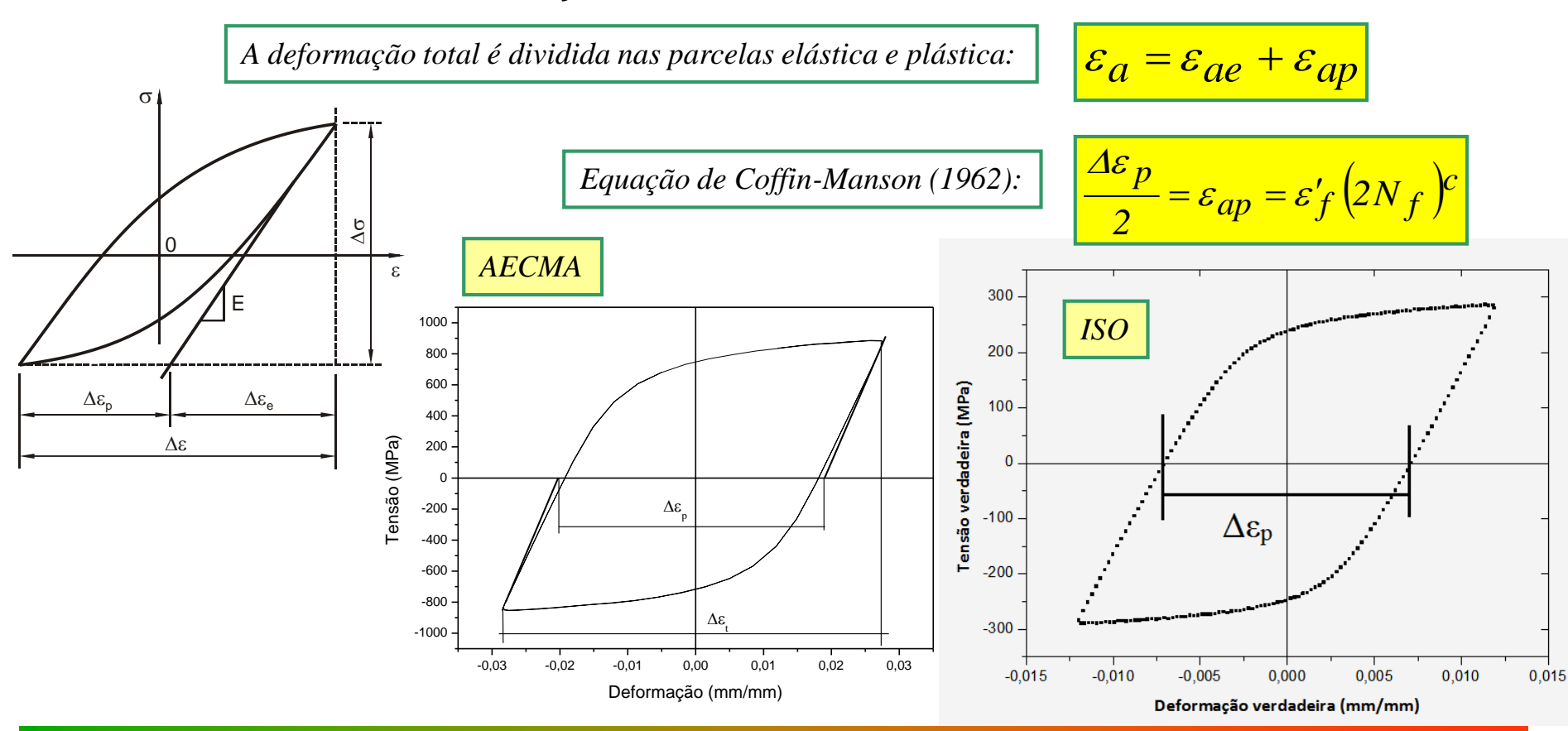
AA 6060 T6



O ENSAIO DE FADIGA DE BAIXO CICLO

Análise dos Laços de Histerese

- Existem diferentes métodos para se determinar as parcelas da deformação
- Kandil (1999) observou diferenças de 30% ou mais entre os métodos
- Recomenda-se a definição usada na norma ISO/DIS 12106

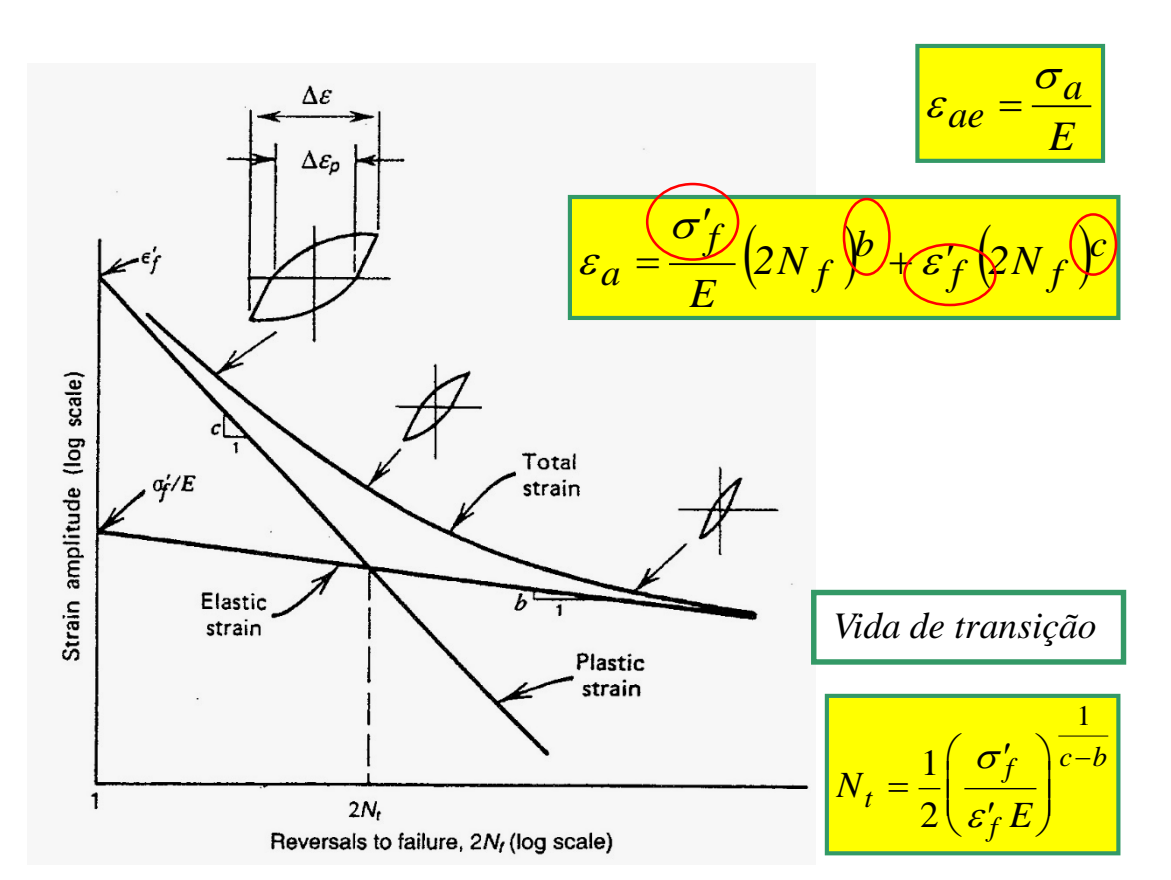


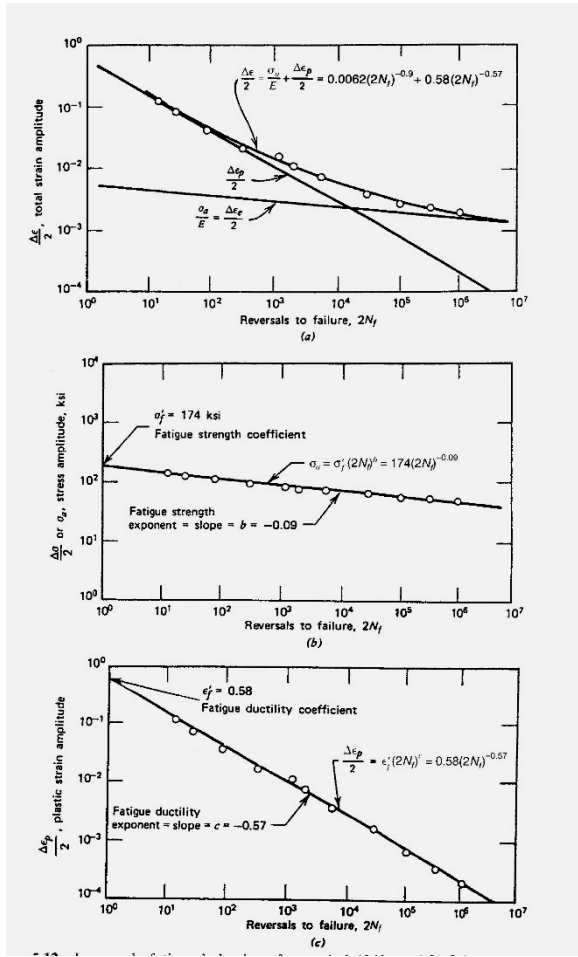


O ENSAIO DE FADIGA DE BAIXO CICLO

Determinação das Propriedades de Fadiga

- Morrow: junção das equações de Basquin e Coffin-Manson
- As 4 propriedades básicas de fadiga são determinadas







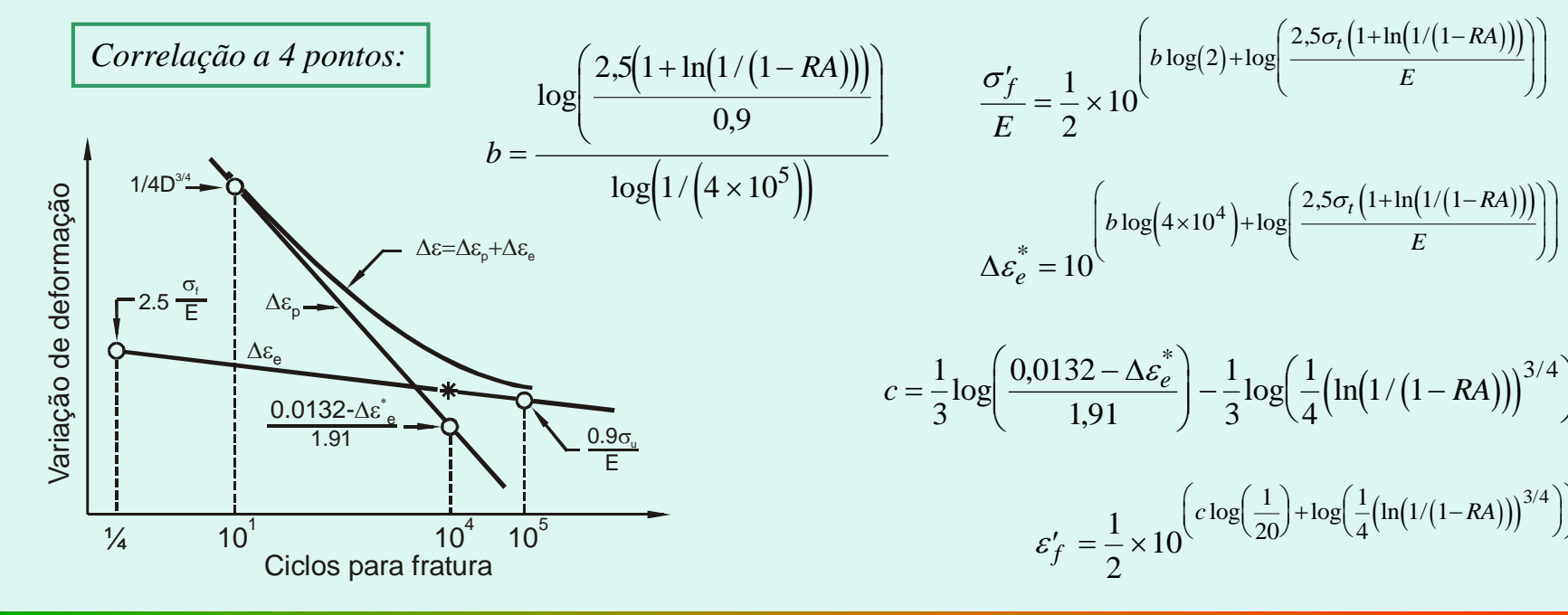
MÉTODOS ESTIMATIVOS DAS PROPRIEDADES DE FADIGA

Quando as Propriedades de Fadiga não são disponíveis

- Método das Inclinações Universais
- Correlação a 4 pontos

Inclinações Universais:

$$\varepsilon_{a} = 0.623 \left(\frac{\sigma_{t}}{E}\right)^{0.832} \left(2N_{f}\right)^{-0.09} + 0.0196 (\tilde{\varepsilon}_{R})^{0.155} \left(\frac{\sigma_{t}}{E}\right)^{-0.53} \left(2N_{f}\right)^{-0.56}$$



$$\frac{\sigma_f'}{E} = \frac{1}{2} \times 10^{\left(b \log(2) + \log\left(\frac{2,5\sigma_t\left(1 + \ln\left(1/(1 - RA)\right)\right)}{E}\right)\right)}$$

$$\Delta \varepsilon_{e}^{*} = 10^{\left(b \log\left(4 \times 10^{4}\right) + \log\left(\frac{2.5\sigma_{t}\left(1 + \ln\left(1/\left(1 - RA\right)\right)\right)}{E}\right)\right)}$$

$$c = \frac{1}{3} \log \left(\frac{0.0132 - \Delta \varepsilon_e^*}{1.91} \right) - \frac{1}{3} \log \left(\frac{1}{4} \left(\ln \left(1 / \left(1 - RA \right) \right) \right)^{3/4} \right)$$

$$\varepsilon_f' = \frac{1}{2} \times 10^{\left(c \log\left(\frac{1}{20}\right) + \log\left(\frac{1}{4}\left(\ln\left(1/\left(1 - RA\right)\right)\right)^{3/4}\right)\right)}$$



CONSIDERAÇÕES SOBRE AS PROPRIEDADES DE FADIGA

Ensaio de tração interpretado como ensaio de fadiga com $N_f = 0.5$

- Tensão e deformação verdadeiras de ruptura seriam as propriedades de fadiga
- A conveniência dessa comparação explica o porque das propriedades de fadiga de baixo ciclo serem definidas como os interceptos em N_f = 0,5 ciclo.

$$\sigma_f' \approx \widetilde{\sigma}_R$$

$$\varepsilon_f' \approx \widetilde{\varepsilon}_R$$

Relação entre a CTDC e as propriedades de fadiga

- Tome-se o termo da deformação plástica na CTDC



$$\sigma_a = K' (\varepsilon_{ap})^{n'}$$

 Extraindo-se N_f das equações de Basquin e Coffin-Manson e comparando-se com o termo anterior, obtém-se as relações:

$$n' = \frac{b}{c}$$

$$K' = \frac{\sigma'_f}{\left(\varepsilon'_f\right)^{b/c}}$$

Das 6 constantes cíclicas do material, somente 4 são independentes.

É preferível usar as constantes de ajuste de dados da CTDC do que essas relações

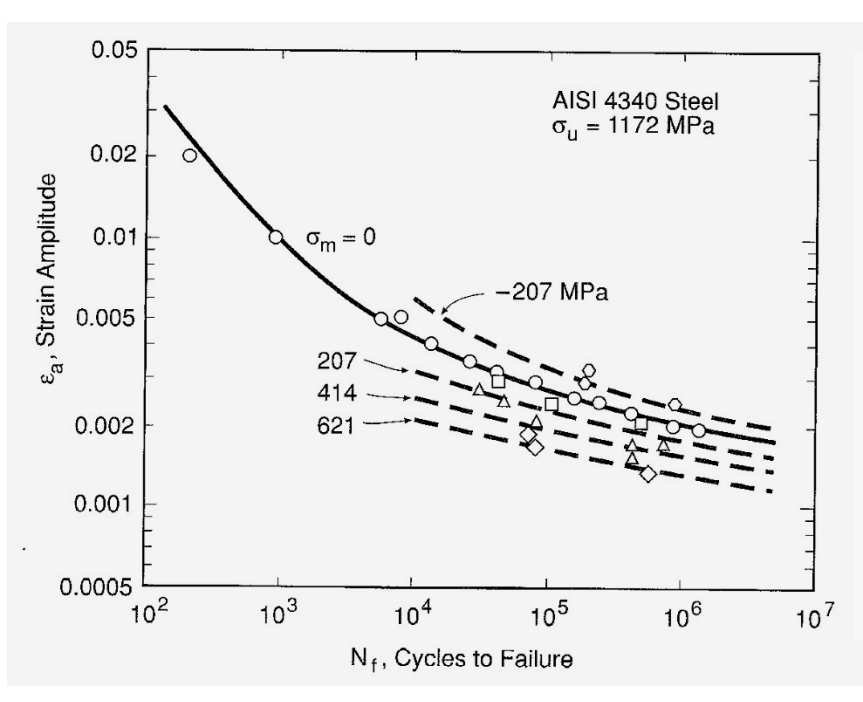


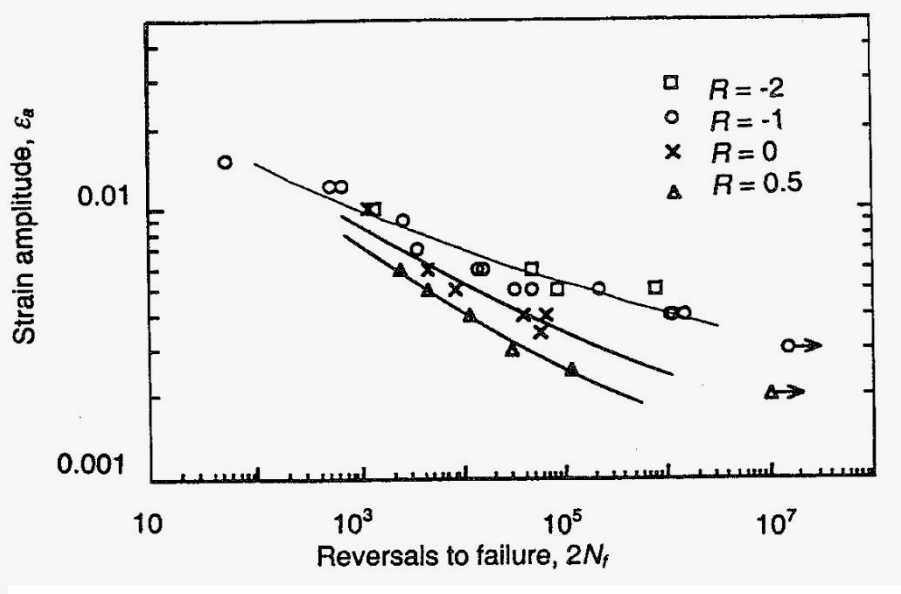


EFEITOS DE ASSIMETRIA

Observação do Efeito da Tensão Média na Vida em Fadiga

- A curva deformação-vida para carregamento totalmente reverso é modificada
- É conveniente considerar famílias de curvas deformação-vida
- Em ensaio com deformação média, pode haver relaxação cíclica da tensão média
- Alternativamente, pode-se realizar ensaios com controle da tensão (*cyclic creep*)







EFEITOS DE ASSIMETRIA

Quantificação do Efeito da Tensão Média

A literatura apresenta diferentes métodos: Morrow, Morrow modificado, SWT, ...

Equação da Tensão Média de Morrow:

$$\sigma_{ar} = \frac{\sigma_a}{1 - \frac{\sigma_m}{\sigma'_f}}$$

$$\sigma_a = \left(\sigma_f' - \sigma_m\right)\left(2N_f\right)^b$$



$$\sigma_a = \sigma'_f \left[\left(1 - \frac{\sigma_m}{\sigma'_f} \right)^{\frac{1}{b}} \left(2N_f \right) \right]$$

$$\sigma_a = \sigma_f' \left(2N_f \right)^b$$

$$N^* = N_f \left(1 - \frac{\sigma_m}{\sigma_f'} \right)^{\frac{1}{b}}$$

$$\sigma_a = \sigma_f' \left(2N_f \right)^b$$

$$\varepsilon_a = \frac{\sigma_f'}{E} \left(2N^* \right)^b + \varepsilon_f' \left(2N^* \right)^c$$



$$N_f = \frac{N^*}{\left(1 - \frac{\sigma_m}{\sigma'_f}\right)^{1/b}}$$



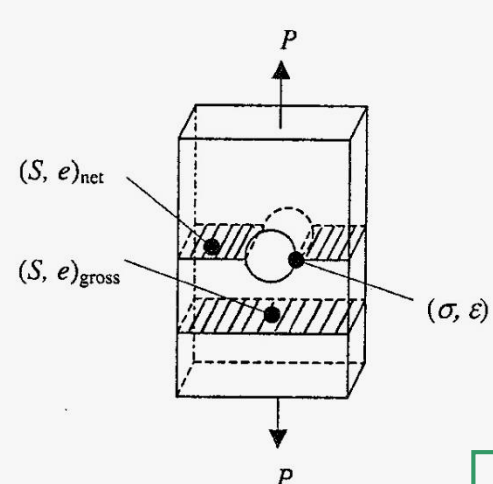
A vida real
$$N_f \in Obtida$$
:
$$N_f = \frac{N^*}{\left(1 - \frac{\sigma_m}{\sigma'_f}\right)^{1/b}} \Longrightarrow \varepsilon_a = \frac{\sigma'_f}{E} \left(1 - \frac{\sigma_m}{\sigma'_f}\right) (2N_f)^b + \varepsilon'_f \left(1 - \frac{\sigma_m}{\sigma'_f}\right)^{c/b} (2N_f)^c$$



EFEITO DE CONCENTRADORES DE TENSÃO

Tensões e Deformações na Raiz de Entalhes

- O material na raiz de entalhes está sob "controle de deformação"
- O comportamento em fadiga é melhor descrito em termos da deformação
- A aplicação do método envolve dois passos:
 - 1. Determinar as tensões e deformações locais
 - 2. Prever a vida usando as deformações locais e relação ε/N



$$S_{\text{net}}$$
 = net nominal stress = P/A_{net}

$$e_{\text{net}}$$
 = net nominal strain

$$S_{gross}$$
 = gross nominal stress = P/A_{gross}

$$e_{\rm gross}$$
 = gross nominal strain

$$\sigma$$
 = local stress at the notch

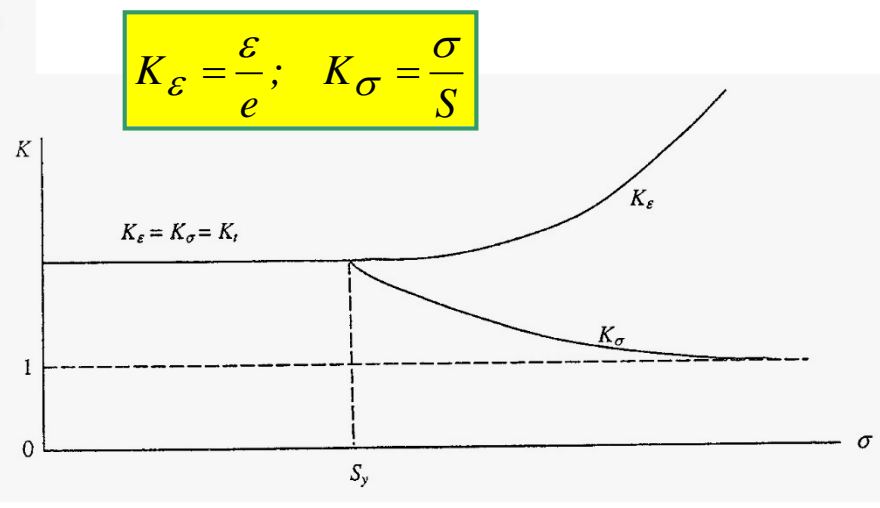
$$\varepsilon$$
 = local strain at the notch

Fator de concentração de tensão teórico (elástico): K_t

Para se determinar as tensões-deformações locais:

- Métodos Experimentais
- Método Numérico (Elementos Finitos)
- Métodos Analíticos

Carregamentos Monotônicos:





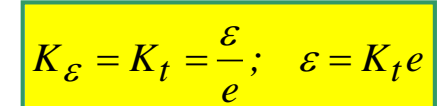
EFEITO DE CONCENTRADORES DE TENSÃO

Métodos Analíticos

- Regra Linear (deformação plana)
- Regra de Neuber (tensão plana)
- Regra de Glinka (densidade de energia de deformação)

Regra Linear:

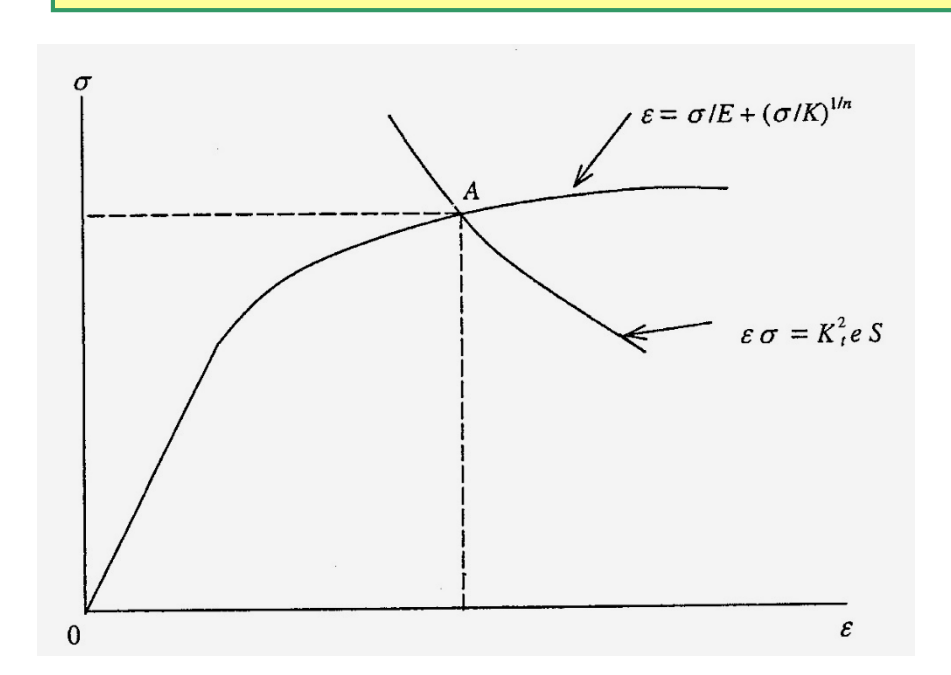
- Modelos Analíticos requerem conhecer o valor de K,
- Para geometrias complexas, as tensões elásticas podem ser determinadas por Elementos Finitos (análise linear)



Regra de Neuber:

$$K_{\varepsilon}K_{\sigma} = K_t^2$$
; $\varepsilon \sigma = K_t^2 eS$

Pode ser resolvida por método gráfico



Para comportamento nominal elástico, vem:

$$e = \frac{S}{E}$$
; $\varepsilon \sigma = \frac{(K_t S)^2}{E}$

$$\frac{\sigma^2}{E} + \sigma \left(\frac{\sigma}{K}\right)^{1/n} = \frac{(K_t S)^2}{E}$$



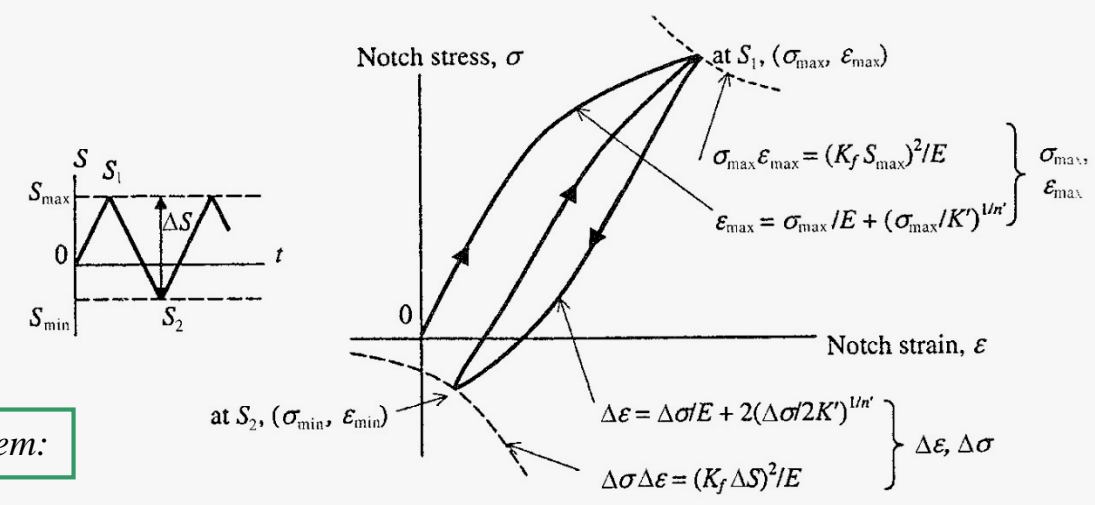
EFEITO DE CONCENTRADORES DE TENSÃO

Extensão para Carregamentos Cíclicos

- A curva tensão-deformação monotônica é substituída pela curva de histerese
- Tensões e deformações são substituídas pelas respectivas variações no ciclo
- Sugere-se também usar o fator de entalhe à fadiga K_f em vez de K_f

Regra de Neuber:

$$\Delta \varepsilon \Delta \sigma = K_f^2 \Delta e \Delta S$$



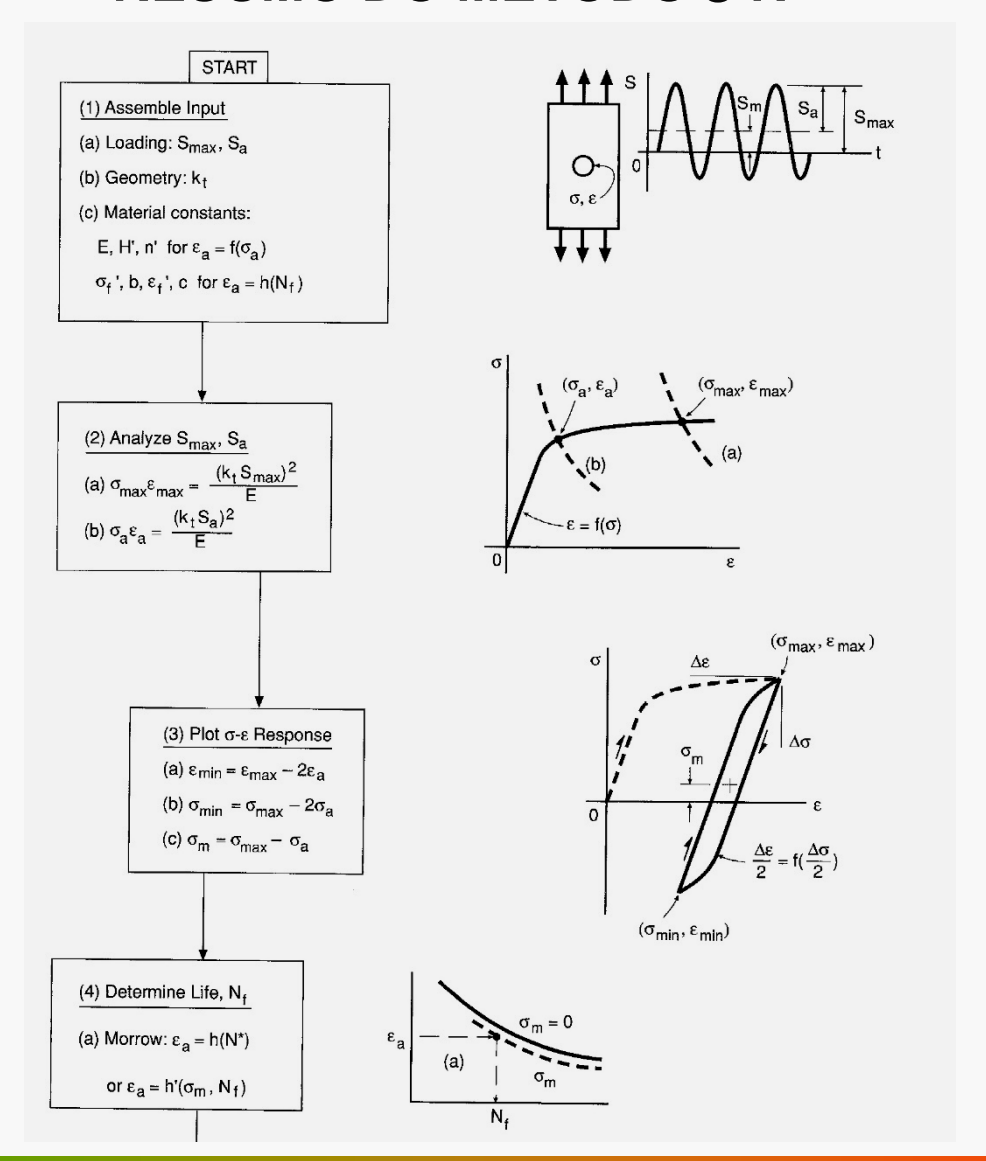
Para comportamento nominal elástico, vem:

$$\Delta e = \frac{\Delta S}{E}; \quad \Delta \varepsilon \Delta \sigma = \frac{\left(K_f \Delta S\right)^2}{E}$$

$$\frac{(\Delta\sigma)^2}{E} + 2\Delta\sigma \left(\frac{\Delta\sigma}{2K'}\right)^{1/n'} = \frac{\left(K_f \Delta S\right)^2}{E}$$

- Aplicação da regra de Neuber:
 - Carregamento inicial de zero a S_{max} (S₁)
 - Descarregamento de S₁ a S₂
 - Calcule a amplitude de deformação e a tensão média
 - Previsão de vida empregando a equação adequada

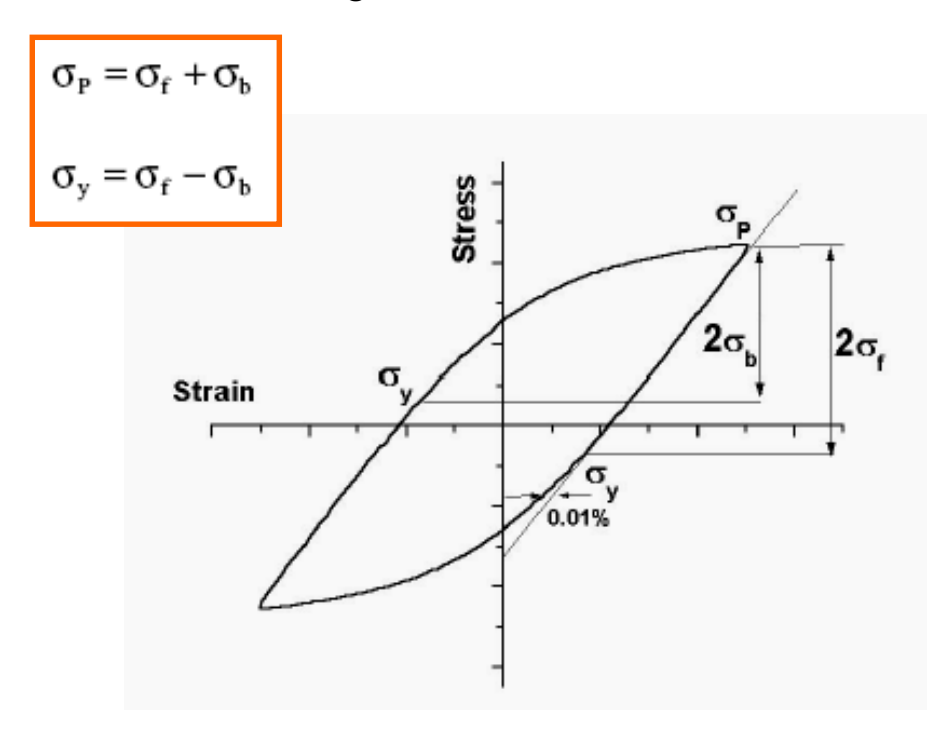
RESUMO DO MÉTODO ε-N

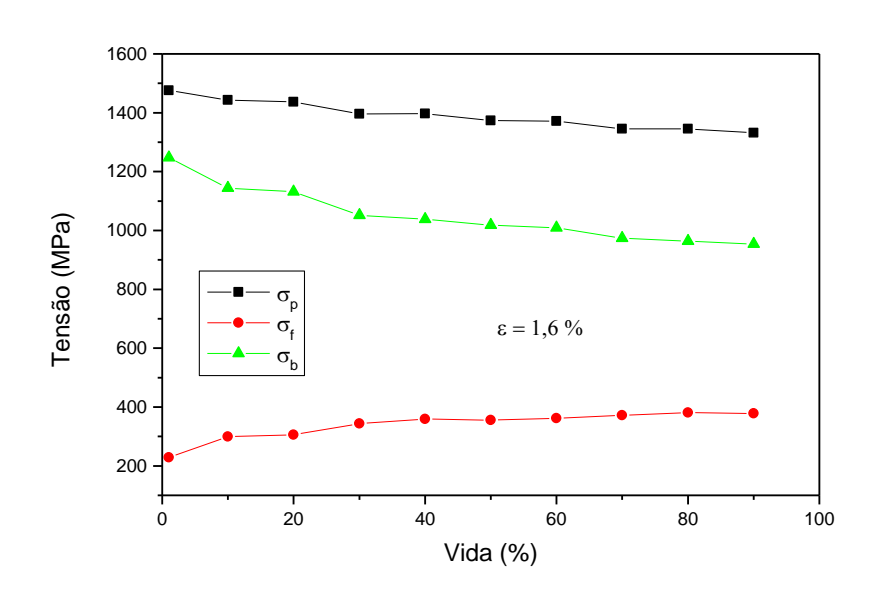


TENSÕES INTERNAS

Método de Cottrell

- Determinação das tensões de atrito e de recuo
 - A tensão de atrito corresponde à resistência que as discordâncias devem vencer para se moverem (tensões que se opõem ao deslizamento).
 - A tensão de recuo está relacionada com o empilhamento (*pile-up*); interações de longo alcance com discordâncias móveis.



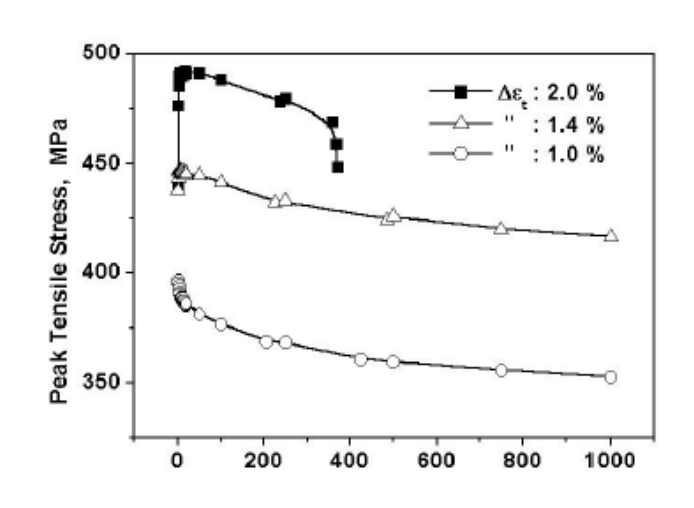


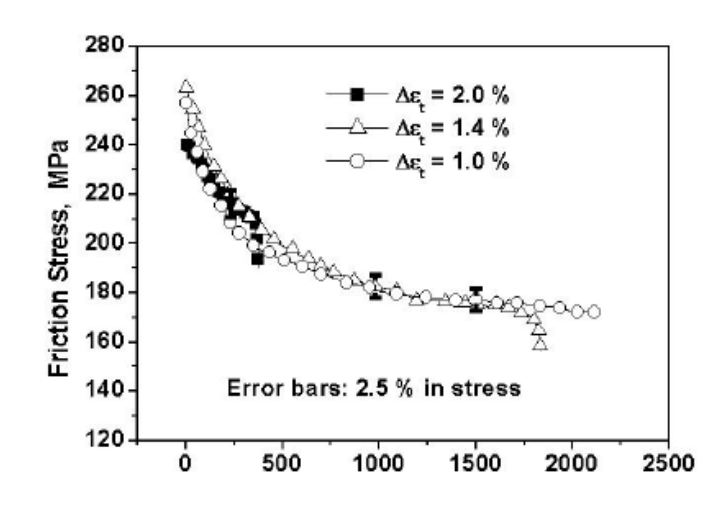
٧

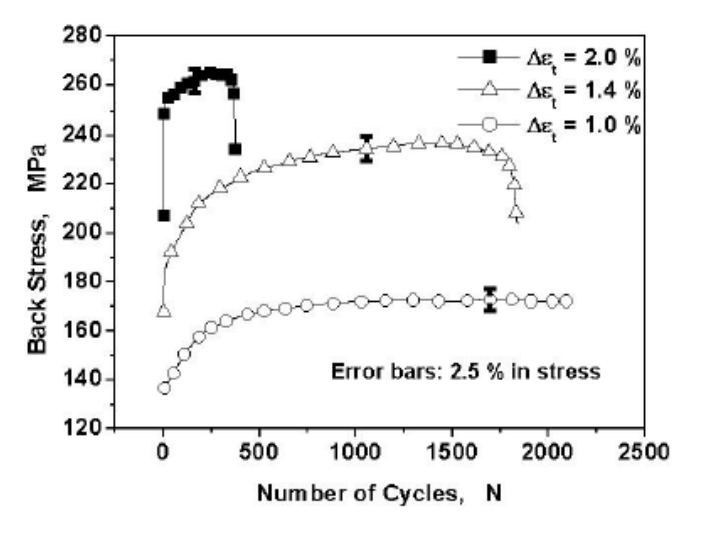
TENSÕES INTERNAS

Método de Cottrell (cont.)

- Exemplo: resultados obtidos para Zircaloy-4 (Armas et al, 2004).
- Observou-se amolecimento cíclico em todas as amplitudes de deformação testadas.
- A tensão de atrito diminuiu com o número de ciclos, e houve uma superposição das curvas.
- A tensão de recuo mostrou-se dependente da amplitude de deformação no início dos ensaios.





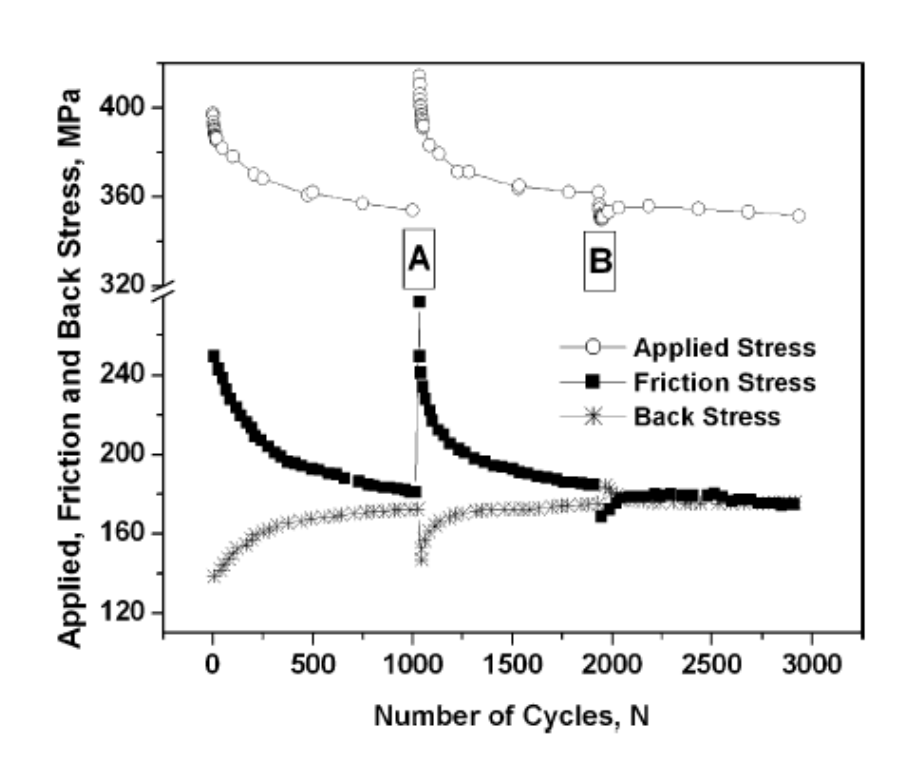




TENSÕES INTERNAS

Método de Cottrell (cont.)

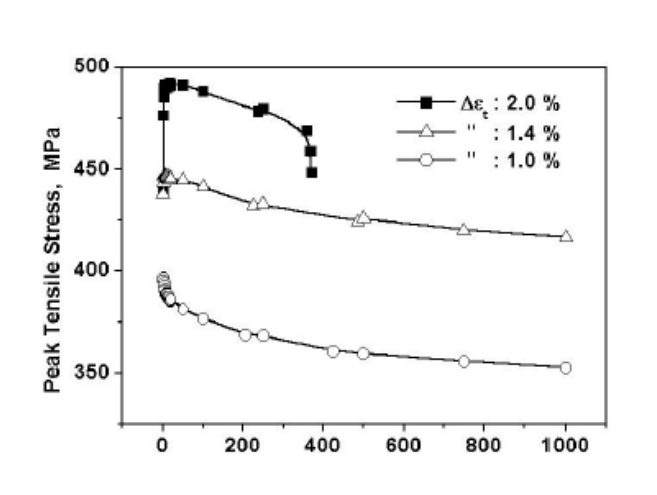
- Para investigar este comportamento, foram feitos ensaios interrompidos, com a amostra sofrendo recozimento após cada interrupção.
- A figura mostra o comportamento das tensões no ensaio interrompido realizado com variação de deformação igual a 1%. Recozimentos: pontos A = 573 K e B = 473 K.
- Este comportamento n\u00e3o foi relacionado a mudan\u00e7as de textura ou rearranjo da estrutura de discord\u00e3ncias.
- Temperatura de 573 K corresponde apenas a 0,27 do ponto de fusão.
- Nesta temperatura pode ocorrer a migração de átomos de soluto.
- A concentração de oxigênio na liga é de 0,14 (% peso), o que dá 1 átomo de soluto para 125 da matriz.
- Estimou-se a distância média a ser percorrida por átomos de O para "capturar" as discordâncias na liga.

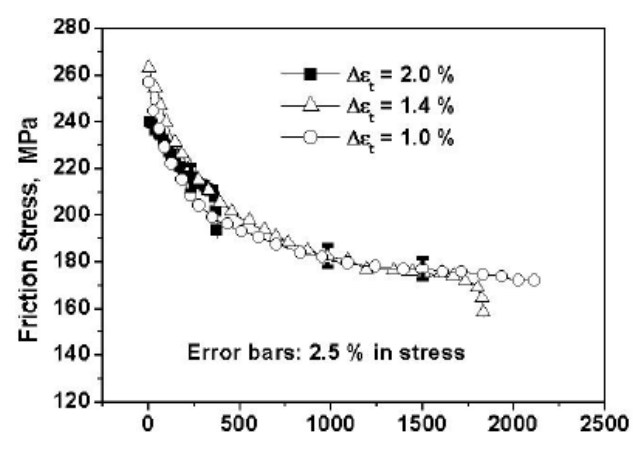


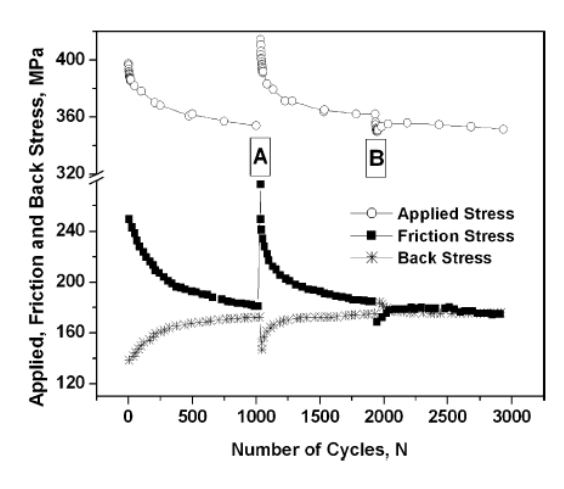


Método de Cottrell (cont.)

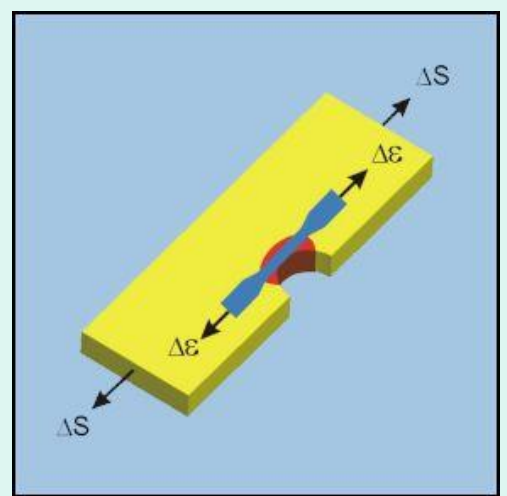
- Com base na concentração de O na liga, e considerando a máxima distância a ser percorrida por um átomo até chegar a uma discordância, bem como a variação do coeficiente de difusão D com a temperatura e o cálculo da distância média percorrida pelos átomos de O em função do tempo, a temperatura necessária para os átomos percorrerem esta distância (≈ 0,96 nm) em 1 hora foi estimada em 560 K.
- Os resultados mostram que, após recozimento por 1 h entre 473 e 573 K, uma amostra de Zircaloy-4 recupera o valor da tensão de atrito do início do ensaio.
- Conclui-se que o amolecimento cíclico deve-se à redução da tensão de atrito causada pela liberação das discordâncias presas por átomos intersticiais de O.

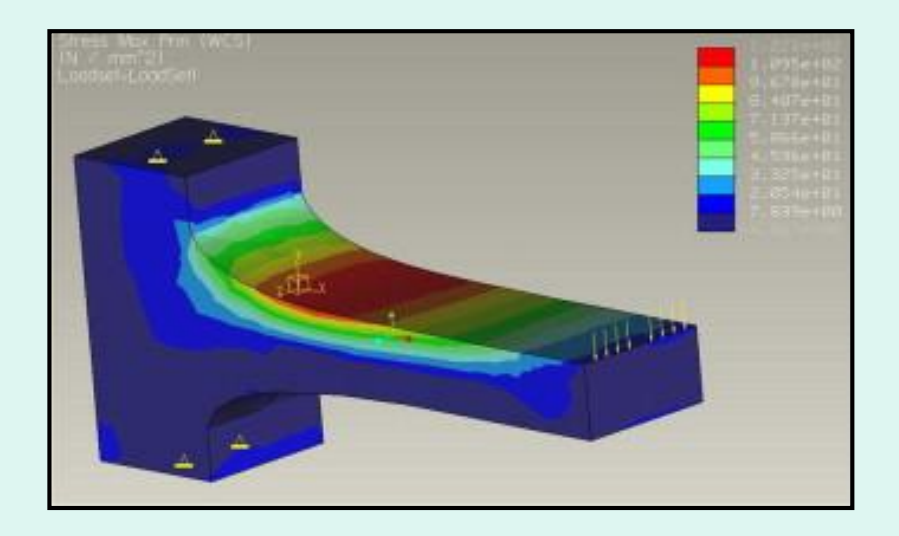


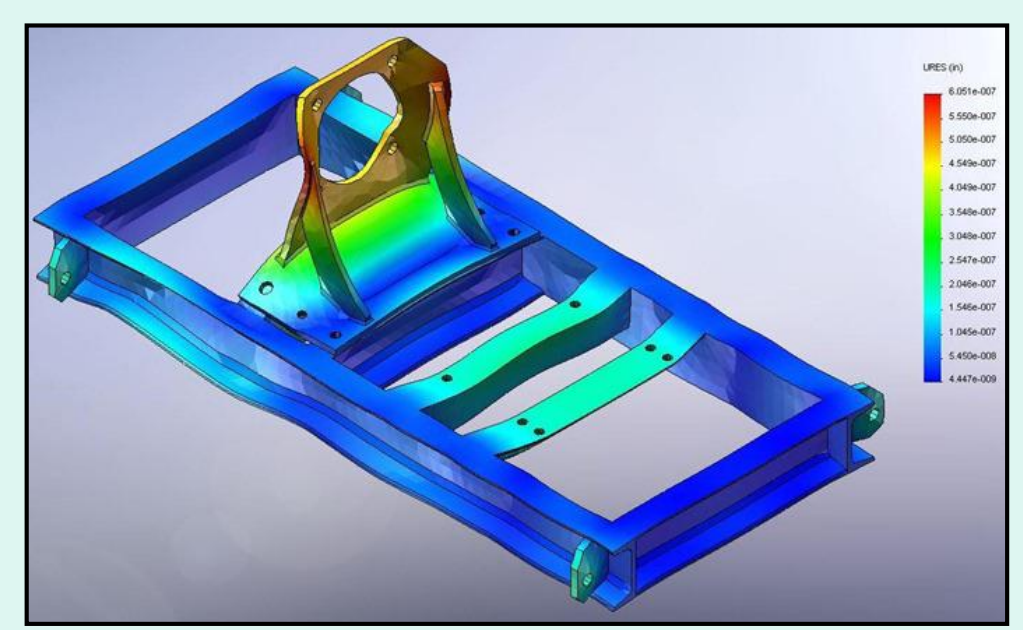












FIM DA PARTE 3

